

Оглавление

1 Постановка задачи	3
2 Анализ задачи	3
3 Построение разностной схемы	4
3.1 Порядок аппроксимации	6
3.2 Исследование разностной схемы на устойчивость	7
3.2.1 Необходимый критерий Неймана	7
3.2.2 Геометрический критерий устойчивости	8
4 Аналитическое решение	8
5 Результаты	9
5.1 График численного решения	9
5.2 Выполнение начального и граничного условий:	10
5.3 Верификация результатов. Погрешность:	10

1 Постановка задачи

Используя схему бегущего счета и итерационные методы, решить задачу:

$$\begin{cases} \frac{\partial u}{\partial t} - \frac{2u}{1+u^2} \frac{\partial u}{\partial x} = 0, & -1 \leq x < 0, \\ u(x, 0) = \cos \frac{\pi x}{2}, \\ u(0, t) = 1 + \frac{1}{2} \operatorname{arctg}(t). \end{cases} \quad (1)$$

2 Анализ задачи

Чтобы определить существует ли разрыв решения или нет, составим уравнение характеристик, решим его и построим график. Если пересечения характеристик на промежутке рассмотрения не будет, то не будет и разрыва решения.

Найдем характеристики верхнего уравнения системы (1):

$$\frac{dt}{1} = -\frac{1+u^2}{2u} \frac{dx}{1} = \frac{du}{0} \quad (2)$$

$$\int_{t_0}^t dt = -\frac{1+u^2}{2u} \int_{x_0}^x dx \quad (3)$$

$$t - t_0 = -\frac{1+u^2}{2u} (x - x_0) \quad (4a)$$

$$du = 0 \rightarrow u = \text{const} \quad (4b)$$

Из начального условия получаем уравнение характеристик:

$$t = -\frac{1 + (\cos \frac{\pi x_0}{2})^2}{2 \cos \frac{\pi x_0}{2}} (x - x_0) \quad (5)$$

Из граничного условия получаем уравнение характеристик:

$$t = t_0 - \frac{1 + \left(1 + \frac{1}{2} \operatorname{arctg}(t_0)\right)^2}{2 \left(1 + \frac{1}{2} \operatorname{arctg}(t_0)\right)} x \quad (6)$$

Построим эти характеристики:

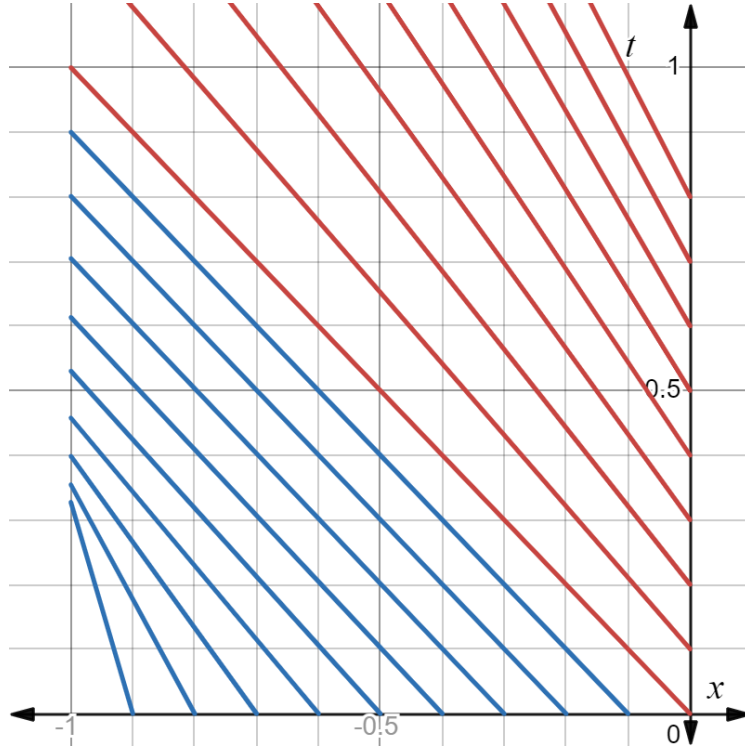


Рисунок 1: Характеристики исходного уравнения.
Синие – из начальных условий
Красные – из граничных условий

На промежутке $x \in [-1; 0)$ кривые явно не пересекаются при $t \in (0; 1]$. В этой области и будем искать решение.

3 Построение разностной схемы

Введем разностную сетку:

$$w_x = \left\{ x_i = -1 + ih_x, i = 0, \dots, N_x, h_x = \frac{1}{N_x} \right\} \quad (7)$$

$$w_t = \left\{ t_j = j\tau, j = 0, \dots, N_t, \tau = \frac{1}{N_t} \right\} \quad (8)$$

$$w_{xt} = w_x \otimes w_t \quad (9)$$

где h_x и τ – шаги по x и t соответственно.

Перепишем наше исходное уравнение в следующем виде:

$$\frac{\partial u}{\partial t} - \frac{\partial \ln(1 + u^2)}{\partial x} = 0 \quad (10)$$

Для краткости записи, обозначим $f(u) = \ln(1 + u^2)$,

Введем сеточную функцию:

$$y_i^j = u(x_i, t_j) = y_i, \quad f(y_i^j) = \ln(1 + (y_i^j)^2) = f_i \quad (11)$$

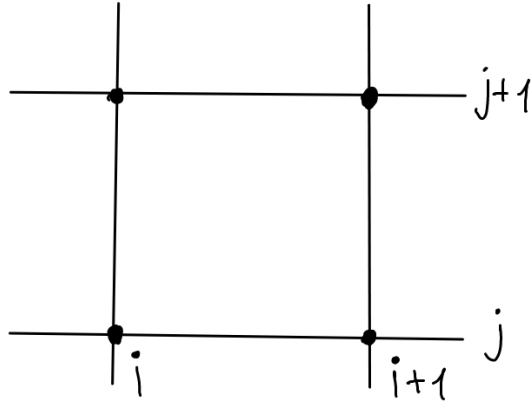


Рисунок 2 Схема сетки 4-х точечного шаблона

Для построения решения будем использовать четырехточечный шаблон, поскольку он имеет порядок аппроксимации $O(\tau^2 + h_x^2)$ и абсолютно устойчив при любом выборе шагов по сетке.

Разностная аппроксимация нашего уравнения в точке $(x_i + 0.5h_x, t_j + 0.5\tau)$ имеет следующий вид:

$$\frac{y_i^{j+1} - y_i^j + y_{i+1}^{j+1} - y_{i+1}^j}{2\tau} - \frac{f_{i+1}^j - f_i^j + f_{i+1}^{j+1} - f_i^{j+1}}{2h_x} = 0, \quad (12)$$

для граничных и начальных условий:

$$\begin{cases} y_i^0 = \cos \frac{\pi x_i}{2} \\ y_0^j = 1 + \frac{1}{2} \arctg(t_j) \end{cases} \quad (13)$$

Полученную разностную схему будем решать с помощью *схемы бегущего счета* и *итерационного метода Ньютона*.

Схема бегущего счета заключается в том, что, зная значение сеточной функции для некоторого t_j , мы вычисляем значение функции для t_{j+1} при i , пробегающем все допустимые значения, и учитываем, что y_0^j известно из граничного условия.

Перепишем уравнение (12) в следующем виде:

$$F(y_{i+1}^{j+1}) = \frac{y_{i+1}^{j+1}}{2\tau} - \frac{f_{i+1}^{j+1}}{2h_x} + \frac{y_i^{j+1} - y_i^j - y_{i+1}^j}{2\tau} + \frac{f_{i+1}^j - f_i^j - f_i^{j+1}}{2h_x} = 0 \quad (14)$$

Будем решать его итерационным *методом Ньютона*.

Предположим, что известно какое-то приближение $y_{i+1}^{j+1(s)}$ для корня нашего уравнения. Тогда:

$$\begin{aligned} 0 &= F(y_{i+1}^{j+1}) = F\left(y_{i+1}^{j+1(s)} + y_{i+1}^{j+1} - y_{i+1}^{j+1(s)}\right) = F\left(y_{i+1}^{j+1(s)} + \Delta y_{i+1}^{j+1(s)}\right) = \\ &= F\left(y_{i+1}^{j+1(s)}\right) + F'\left(y_{i+1}^{j+1(s)}\right) \Delta y_{i+1}^{j+1(s)} + O\left(y_{i+1}^{j+1(s)}\right)^2 \end{aligned}$$

Отсюда:

$$\Delta y_{i+1}^{j+1(s)} \approx -\frac{F(y_{i+1}^{j+1(s)})}{F'(y_{i+1}^{j+1(s)})}, \quad (15)$$

$$\text{где } F'(y_{i+1}^{j+1(s)}) = \frac{1}{2\tau} - \frac{y_{i+1}^{j+1(s)}}{(1 + (y_{i+1}^{j+1(s)})^2)h_x} \quad (16)$$

В итоге получаем итерационную последовательность:

$$y_{i+1}^{j+1(s+1)} = y_{i+1}^{j+1(s)} - \frac{F(y_{i+1}^{j+1(s)})}{F'(y_{i+1}^{j+1(s)})} \rightarrow \epsilon^{(s+1)} = \epsilon^{(s)} - \frac{F(y_{i+1}^{j+1(s)})}{F'(y_{i+1}^{j+1(s)})} \quad (17)$$

Итерационный процесс останавливается при условии $|\epsilon^{(s+1)} - \epsilon^{(s)}| < \alpha$, где α – заданная точность.

Из начальных и граничных условий понятно, что оптимальным начальным приближением будет $\epsilon^{(0)} = 1$.

3.1 Порядок аппроксимации

Вычислим порядок аппроксимации четырехточечного шаблона, разложив сеточные функции в ряд Тейлора в точке $(x_i + 0.5h_x, t_j + 0.5\tau)$ сначала по j , затем по i :

$$y_{i+1}^{j+1} = y_{i+1}^{j+0,5} + \frac{\tau}{2}(y_{i+1}^{j+0,5})' + \frac{1}{2}\frac{\tau^2}{4}(y_{i+1}^{j+0,5})'' + O(\tau^3),$$

$$y_i^{j+1} = y_i^{j+0,5} + \frac{\tau}{2}(y_i^{j+0,5})' + \frac{1}{2}\frac{\tau^2}{4}(y_i^{j+0,5})'' + O(\tau^3),$$

$$y_i^j = y_i^{j+0,5} - \frac{\tau}{2}(y_i^{j+0,5})' + \frac{1}{2}\frac{\tau^2}{4}(y_i^{j+0,5})'' + O(\tau^3),$$

$$y_{i+1}^j = y_{i+1}^{j+0,5} - \frac{\tau}{2}(y_{i+1}^{j+0,5})' + \frac{1}{2}\frac{\tau^2}{4}(y_{i+1}^{j+0,5})'' + O(\tau^3),$$

Тогда
$$\frac{y_i^{j+1} - y_i^j + y_{i+1}^{j+1} - y_{i+1}^j}{2\tau} = \frac{1}{2\tau} \left(y_i^{j+0,5} + \frac{\tau}{2}(y_i^{j+0,5})' + \frac{1}{2}\frac{\tau^2}{4}(y_i^{j+0,5})'' + O(\tau^3) - y_i^{j+0,5} + \frac{\tau}{2}(y_i^{j+0,5})' - \frac{1}{2}\frac{\tau^2}{4}(y_i^{j+0,5})'' + O(\tau^3) \right) + \frac{1}{2\tau} \left(y_{i+1}^{j+0,5} + \frac{\tau}{2}(y_{i+1}^{j+0,5})' + \frac{1}{2}\frac{\tau^2}{4}(y_{i+1}^{j+0,5})'' + O(\tau^3) - y_{i+1}^{j+0,5} + \frac{\tau}{2}(y_{i+1}^{j+0,5})' - \frac{1}{2}\frac{\tau^2}{4}(y_{i+1}^{j+0,5})'' + O(\tau^3) \right) = \frac{1}{2}(y_i^{j+0,5})' + O(\tau^2) + \frac{1}{2}(y_{i+1}^{j+0,5})' + O(\tau^2) = (y_i^{j+0,5})' + O(\tau^2)$$

Таким же образом находим приращения по координате:

$$y_{i+1}^{j+1} = y_{i+0,5}^{j+1} + \frac{h_x}{2}(y_{i+0,5}^{j+1})' + \frac{1}{2}\frac{h_x^2}{4}(y_{i+0,5}^{j+1})'' + O(h_x^3),$$

$$y_i^{j+1} = y_{i+0,5}^{j+1} - \frac{h_x}{2} (y_{i+0,5}^{j+1})' + \frac{1}{2} \frac{h_x^2}{4} (y_{i+0,5}^{j+1})'' + O(h_x^3),$$

$$y_i^j = y_{i+0,5}^j - \frac{h_x}{2} (y_{i+0,5}^j)' + \frac{1}{2} \frac{h_x^2}{4} (y_{i+0,5}^j)'' + O(h_x^3),$$

$$y_{i+1}^j = y_{i+0,5}^j + \frac{h_x}{2} (y_{i+0,5}^j)' + \frac{1}{2} \frac{h_x^2}{4} (y_{i+0,5}^j)'' + O(h_x^3),$$

Тогда $\frac{y_i^{j+1} - y_i^j + y_{i+1}^{j+1} - y_{i+1}^j}{2\tau} = (y_{i+0,5}^j)' + O(h_x^2)$.

В конечном итоге $\frac{y_i^{j+1} - y_i^j + y_{i+1}^{j+1} - y_{i+1}^j}{2\tau} = (y_{i+0,5}^{j+0,5})' + O(\tau^2 + h_x^2)$.

Аналогичные выражения можно получить и для функции f .

Тогда:

$$\frac{y_i^{j+1} - y_i^j + y_{i+1}^{j+1} - y_{i+1}^j}{2\tau} = O(\tau^2 + h_x^2)$$

$$\frac{f_{i+1}^j - f_i^j + f_{i+1}^{j+1} - f_i^{j+1}}{2h_x} = O(\tau^2 + h_x^2)$$

Следовательно, аппроксимация в узле $(x_i + 0.5h_x, t_j + 0.5\tau)$ имеет порядок $O(\tau^2 + h^2)$.

3.2 Исследование разностной схемы на устойчивость

Проверим разностную схему на устойчивость несколькими методами.

3.2.1 Необходимый критерий Неймана

Выберем произвольную внутреннюю точку (\tilde{x}, \tilde{t}) нашей области, и зафиксируем коэффициент при $\partial y / \partial x$ в ней:

$$\frac{y_i^{j+1} - y_i^j + y_{i+1}^{j+1} - y_{i+1}^j}{2\tau} + C \frac{y_{i+1}^j - y_i^j + y_{i+1}^{j+1} - y_i^{j+1}}{2h_x} = 0,$$

где $C = -\frac{2y}{1+y^2}$.

Ищем решение в виде $y_n^k = \lambda^k e^{i\omega n}$.

Подставляя в уравнение, получаем:

$$\frac{\lambda - 1 + e^{i\omega}(\lambda - 1)}{\tau} + \frac{C(e^{i\omega} - 1 + \lambda e^{i\omega} - \lambda)}{h_x} = 0$$

$$\lambda = \frac{1 + \frac{C\tau}{h_x} + e^{i\omega}(1 - \frac{C\tau}{h_x})}{1 - \frac{C\tau}{h_x} + e^{i\omega}(1 + \frac{C\tau}{h_x})}$$

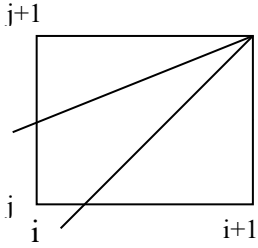
$$\text{Пусть } A = 1 + \frac{C\tau}{h_x}, B = 1 - \frac{C\tau}{h_x} \Rightarrow |\lambda|^2 = \frac{(A+B \cos \omega)^2 + B^2 \sin^2 \omega}{(B+A \cos \omega)^2 + B^2 \sin^2 \omega} = \frac{A^2 + 2AB \cos \omega + A^2}{B^2 + 2AB \cos \omega + A^2} = 1.$$

То есть, $|\lambda|=1$ для любого ω .

Следовательно, спектральный критерий Неймана выполнен, и разностная схема является абсолютно устойчивой.

3.2.2 Геометрический критерий устойчивости

Проведем характеристику уравнения переноса из точки, где ищется решение. Его характеристикой является $x-ct=const$. Если характеристика пересекает отрезок, соединяющий точки шаблона, в которых решение известно, то схема устойчива. Если же не пересекает этот отрезок, то неустойчива.



Если мы имеем четырехточечный шаблон, то как бы мы не проводили характеристику, она будет пересекать отрезок, в точках которого значение сеточной функции нам известно. Таким образом, четырехточечный шаблон гарантирует безусловную устойчивость по геометрическому критерию.

4 Аналитическое решение

Для дальнейшей верификации численного решения, исследуем задачу на наличие аналитического решения.

Как мы уже выяснили, из уравнения характеристик (2) исходной системы следует, что

$$u = C_1 \quad (18a)$$

$$t + \frac{1+u^2}{2u}x = C_2 \quad (18b)$$

Общее решение задачи (1) можно представить в виде $V(C_1, C_2) = 0$

Заметим, что начальные и граничные условия согласуются в точке $(0,0)$: $u(x, t) = 1$, при $x = 0, t = 0$.

Подставим в уравнения 18a и 18b начальные условия:

$$u(x, 0) = C_1 = \cos \frac{\pi x}{2}, \text{ при этом } u \in [0, 1] \quad (19a)$$

$$\frac{1+u^2}{2u} \left(-\frac{2}{\pi} \arccos(C_1) \right) = C_2 \quad (19b)$$

В скобках стоит знак минус, поскольку в рассматриваемой задаче $x \in [-1, 0]$.

Подставим константу C_2 из уравнения 19b в уравнение 18b:

$$t + \frac{1+u^2}{2u} \left(x + \frac{2}{\pi} \arccos(C_1) \right) = 0 \quad (20)$$

Константу C_1 подставим в уравнение 20 из 18a и окончательно получим:

$$t + \frac{1+u^2}{2u} \left(x + \frac{2}{\pi} \arccos(u) \right) = 0, \text{ при } u \in [0, 1]$$

Теперь подставим в уравнения 18a и 18b граничные условия:

$$u(0, t) = C_1 = 1 + \frac{1}{2} \operatorname{arctg}(t), u \geq 1 \quad (21a)$$

$$t = C_2 \quad (21b)$$

Подставив t из 21b в 21a, получим:

$$C_1 = 1 + \frac{1}{2} \operatorname{arctg}(C_2) \quad (22)$$

Константы C_1 и C_2 подставим в 22 из 18a и 18b и окончательно получим:

$$u = 1 + \frac{1}{2} \operatorname{arctg} \left(t + \frac{1 + u^2}{2u} x \right), \text{ при } u \geq 1 \quad (23)$$

$$\begin{cases} t + \frac{1 + u^2}{2u} \left(x + \frac{2}{\pi} \arccos(u) \right) = 0, \text{ при } u \in [0, 1) \\ u = 1 + \frac{1}{2} \operatorname{arctg} \left(t + \frac{1 + u^2}{2u} x \right), \text{ при } u \geq 1 \end{cases} \quad (24)$$

Система 24 неявных уравнений определяет решение исходной задачи.

5 Результаты

5.1 График численного решения

Программа, реализующая численное решение, написана на языке программирования Python в "Visual Studio Code".

На рис.4 представлено графическое изображение решения исходной системы, полученное с помощью четырехточечного шаблона.

График численного решения для 4-х точечной схемы

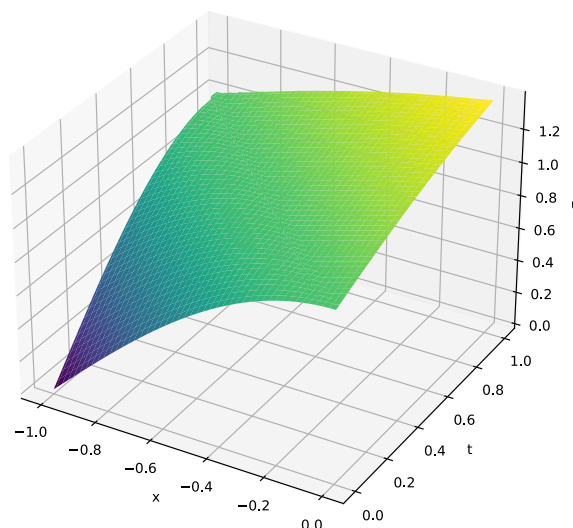


Рисунок 3 Решение в виде 3D графика для 4-х точечной схемы ($N_x = 400$, $N_t = 400$, $\alpha = 0.001$)

5.2 Выполнение начального и граничного условий:

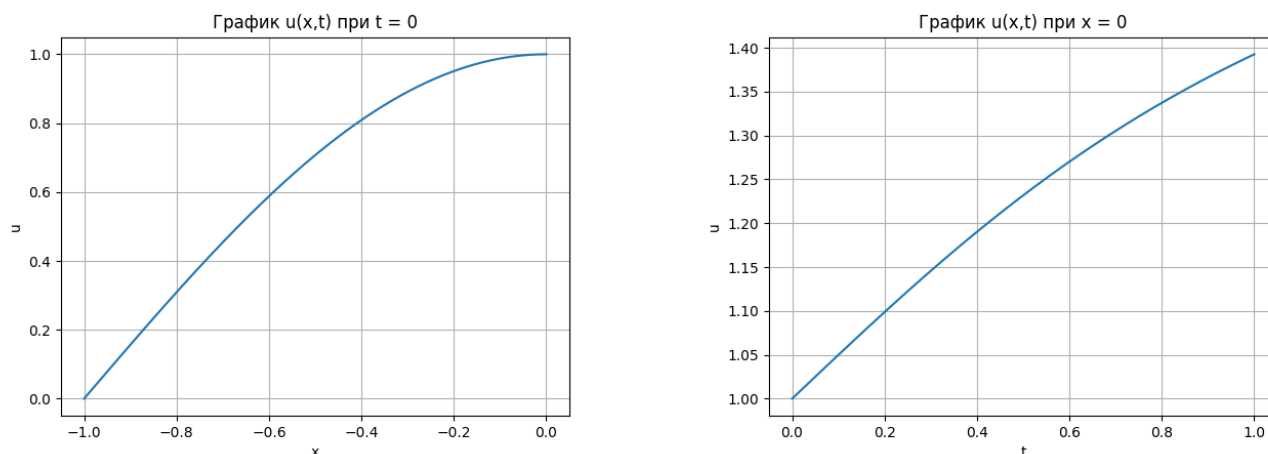


Рисунок 4 Графическое представление решения 4-х точечной схемы
при а) $t = 0$, б) $x = 0$

Видно, что численно найденные зависимости $u(x,0)$ и $u(0,t)$ совпадают с заданными в исходной задаче начальным и граничным условием, соответственно.

5.3 Верификация результатов. Погрешность:

Для сравнения численного решения с аналитическим, в произвольной точке $(x, t) = (-0,7; 0,2)$ с помощью метода Ньютона было рассчитано значение аналитического решения системы 24, на основе которого был построен график зависимости погрешности σ от величины шага h_x сетки.

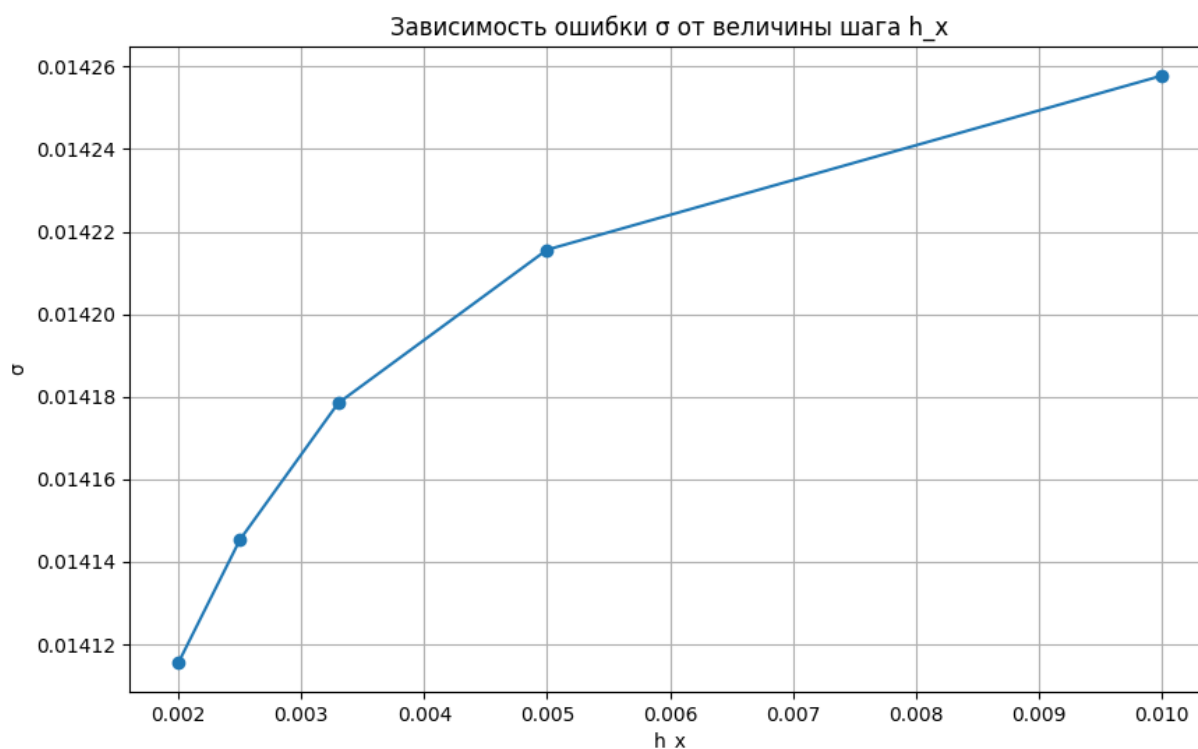


Рисунок 5 График зависимости погрешности решения от величины шага при
 $h_x = [0.002; 0.0025; 0.0033; 0.005; 0.01]$

Как видно из графика, точность решения растет по мере сгущения сетки.